

дополнительные исследования показали, что на поверхности синтезированных гидрофильных гелей адсорбируются из плазменного белка крови прежде всего альбумины. Количество адсорбированного фибриногена и других глобулинов незначительно. Возможно, этот эффект обусловлен ингибирующим влиянием гидрогелевой поверхности на активацию фибриназы и количественное образование фибрин-полимера. Модификация гидрофильных гелей гепарином повышает их тромбоэластичные свойства.

Таким образом, гидрофильные гели на основе метилметакрилата и N-винилпирролидона обладают тромбоэластичными свойствами, что позволяет использовать их для модификации поверхностей полимерных конструкций, где осуществляется непосредственный контакт с кровью.

#### ЛИТЕРАТУРА

1. Рутберг Р. А. — Лабор. дело, 1957, № 3, с. 7.
2. Туголуков В. Н. — Врач. дело, 1953, № 2, с. 151—154.
3. Чепуров А. К., Якунин Г. А. — В кн.: Моделирование, методы изучения и экспериментальная терапия патологических процессов. М., 1973, с. 114—116.
4. Чепуров А. К. Механизмы тромбообразования на полимерных материалах. Дис. докт. М., 1975.
5. Шестаков В. А. — Грудная хир., 1975, № 2, с. 41.
6. Breddin K. — Blut, 1968, Bd 18, S. 84—89.
7. Chandler A. — Lab. Invest., 1958, v. 7, p. 110—114.
8. Halpern B. D., Chend H., Kuo S. — In: Artificial Heart Program Conference. Ist. Washington, 1969, p. 87—96.
9. Hoffman A. S., Schmer G. et al. — Trans. Am. Soc. Artif. intern. Organs, 1972, v. 18, p. 10—15.
10. Homsy C. A. — J. Biomed. Mat. Res., 1970, v. 4, p. 341.
11. Marbet R., Winterstein A. — Ärztl. Forsch., 1955, Bd 9, S. 1—4.
12. Merrill F., Salzman F. et al. — Polymer Preprint, 1972, v. 13, p. 511—517.
13. Mochi N., Cascone A. — Progr. méd. (Paris), 1958, v. 14, p. 40—43.
14. Ratner B. D. et al. — Biomat. Med. Dev. Artif. Organs, 1975, v. 3, p. 115.
15. Salzman E. — Blood, 1971, v. 38, p. 509—523.

Поступила 18.VI 1979 г.

#### THROMBORESISTANT PROPERTIES OF HYDROPHILIC GELS

A. K. Chepurov, Z. M. Belomestnaya, I. A. Donetsky, G. V. Tsidvintseva

Institute of Organ and Tissue Transplantation, Ministry of Public Health of the USSR, Moscow

Thromboresistant properties of hydrophilic gels prepared on the basis of copolymers of nitrogen-containing heterocyclic vinyl compounds with vinyl monomers have been investigated. Hydrophilic gels prevent fibrinogen adsorption, activation of procoagulants and adhesion of platelets. Hydrogel surfaces possess selective tropism for plasma albumin. It is believed that the thromboresistant effect of the hydrophilic gels is consequent on the competitive action of plasma albumin. Modification of the gels leads to the improvement of their thromboresistant properties.

УДК 612.172.4:577.3

Ключевые слова: электрокардиография; физическая модель.

Б. М. Цукерман, М. В. Кон, В. Ф. Портман  
Р. А. Вышегородская

#### БИОФИЗИЧЕСКАЯ МОДЕЛЬ СЕРДЦЕ — ТЕЛО

Отдел физиологии (зав.—проф. Л. Л. Шик) Институт хирургии им. А. В. Вишневского (дир.—акад. АМН СССР проф. М. И. Кузин) АМН СССР, Москва

Представлена акад. АМН СССР М. И. Кузиным

Особенности геометрической формы грудной клетки животных и ее большие отличия от грудной клетки человека сильно ограничивают возможность трактовки ЭКГ, полученных в эксперименте в интересах клинической электрокардиографии. В истории электрокардиографии известна ошибка связанныя с неосторожным перенесением в клиническую практику электрокардиографических симптомов блокады ножек пучка Гиса, полученных в опытах на собаках [3]. Она привела к тому что более 10 лет просуществовало неправильное представление об электрокардиографической симптоматике этих нарушений проведения. Причины ошибки явились различие формы грудной клетки собаки и человека. Это было доказано при производстве опыта Эппингера на изолированном перфузируемом сердце собаки, погруженному в грудную клетку трупа человека взамен извлеченному сердца трупа [5].

Попытки окружить сердце животного объемом проводником, имеющим форму тела человека, не принимались уже давно. Однако использование паракардиальных моделей тела человека имеет ряд существенных недостатков и связано с большими организационными трудностями. Более целесообразно использовать искусственные модели сердца, состоящие собой полый сосуд в форме торса человека, заполненный электролитом и имеющий пределенные по грудной клетке электроды электрокардиографических отведений. Такие модели использовали для исследования свойств электрокардиографических отведений, вводя в них электрический диполь [2, 4, 6, 7], и биологических экспериментов [8].

Описываемая модель сердце — тело представляет собой полый слепок с торса взрослого мужчины мостостальной конституции, заполнявшийся раствором NaCl, в который погружали изолированное перфузируемое сердце крупной собаки массой 35 кг (рис. 1, A). Изоляцию и перфузию производили по методике [1]. Чтобы при исследовании модели можно было проводить параллельно с ЭКГ человека, изолированное сердце живо располагали в модели торса так же, как с человека расположено в грудной клетке. Для сконструировано специальное приспособление

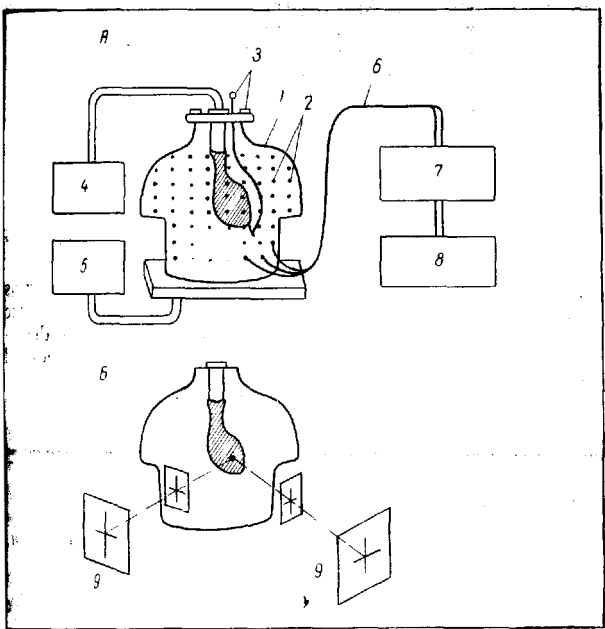


Рис. 1. Биофизическая модель сердце — тело.

**А** — блок-схема установки; **Б** — способ локализации изолированного сердца животного в биофизической модели торса человека: 1 — модель торса, заполненная гипоосмотическим раствором NaCl; 2 — отводящие электроды; 3 — координатное устройство; 4 — аппарат искусственного кровообращения; 5 — термостат; 6 — кабель транскутографических отведений; 7 — коммутатор отведений; 8 — электрокардиограф; 9 — прицельное устройство.  
Изолированное сердце собаки в искусственном периотокопроводящей резиновой пленке.

На двух предварительно настроенных прицелах, лежащих под углом друг к другу. Сердце животного устанавливали таким образом, чтобы оптическая ось каждого прицела проходила через геометрический центр желудочков (рис. 1, **Б**). Для перемещения сердца и его фиксации в выбранном положении предусмотрено координатное устройство, позволяющее перемещать сердце в направлениях: вверх — вниз, вправо — влево и вперед — назад. Кроме того, имеется возможность поворотов сердца вокруг его продольной оси, а также во фронтальной и сагиттальной плоскостях тела. Сердце фиксировали таким образом, чтобы передняя его поверхность была обращена к передней поверхности грудной клетки. Точной установки сердца добились путем небольших угловых смещений его вокруг продольной оси таким образом, чтобы передняя зона прекордиальных ЭКГ располагалась в отведениях  $V_2$ — $V_3$  ( $0^\circ$  на рис. 2).

При использовании в качестве объемного проводника физиологического раствора потенциалы сердца, отводимые от электродов, оказываются очень маленькими и анализ зарегистрированных на электрокардиографе кривых практически невозможен. Это происходит в результате шунтирования токов из сердца низким сопротивлением раствора (параллельное сопротивление около  $55 \text{ Ом} \cdot \text{см}$ ). Для увеличения амплитуды отводимых сигналов ЭКГ надо уменьшить проводимость раствора, значительно снизив концентрацию электролита. Однако

при этом падает и осмотическая концентрация раствора, что приводит к отеку и повреждению миокарда.

С целью увеличения отводимой разности потенциалов, а также предотвращения повреждения и гибели изолированного сердца, мы разработали следующую методику: полую модель торса с вмонтированными в нее отводящими электродами заполняют раствором с очень низкой концентрацией ионов. В этот раствор погружают изолированное перфузируемое сердце собаки, на которое для предотвращения повреждения предварительно надевают плотно облегающий его мешок из токопроводящей резиновой пленки. Пленка изготовлена из латекса, в который для того, чтобы она стала электропроводной, введен тонкодисперсный уголь. Так как пленка и окружающий сердце раствор имеют удельное сопротивление одного порядка, наличие пленки не вносит существенных изменений в величину регистрируемых потенциалов. Зато электрическое сопротивление раствора, заполняющего модель торса, оказывает на их величину очень большое влияние (рис. 3). Амплитуда отводимой ЭКГ максимальна при наибольшем сопротивлении раствора (дистиллированная вода). При этом, однако, нередко имеет место значительная наводка пере-

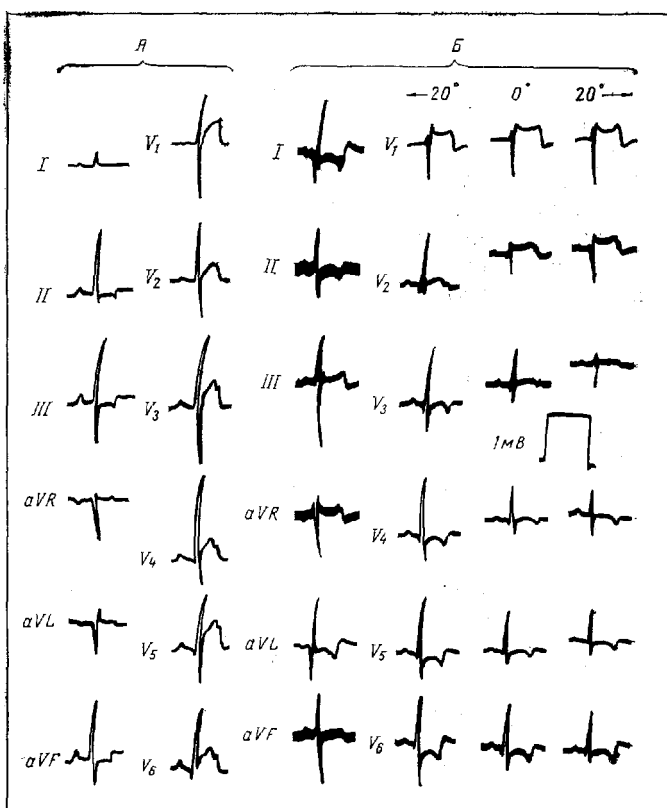


Рис. 2. Влияние геометрических особенностей объемного проводника на вид ЭКГ.

**А** — ЭКГ собаки массой 27 кг под морфинно-тиопенталовым наркозом в положении лежа на спине; **Б** — отведение от электродов модели торса человека. Стрелки указывают направления поворотов изолированного сердца вокруг длинной оси по часовой стрелке и против нее.

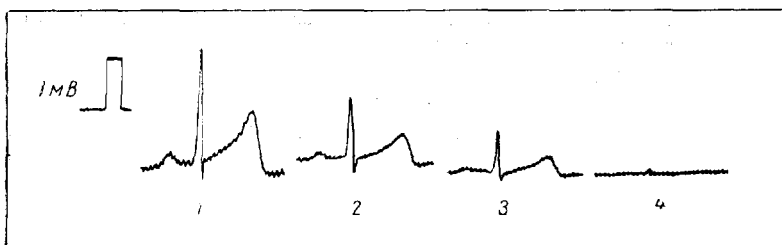


Рис. 3. Амплитуда ЭКГ при разной концентрации раствора  $\text{NaCl}$ , заполняющего модель торса человека.

В модель погружено изолированное сердце собаки массой 34 кг. Электрокардиографическое отведение  $V_5$ . 1 — дистиллированная вода, 2 — 0,004%, 3 — 0,008%, 4 — 0,45% концентрация  $\text{NaCl}$ .

менного тока. Увеличение концентрации  $\text{NaCl}$  быстро приводит к уменьшению отводимого сигнала, который при заполнении модели физиологическим раствором (0,9%  $\text{NaCl}$ ) становится едва различимым даже при максимальном усиении электрокардиографа. Оптимальной оказалась концентрация раствора  $\text{NaCl}$  0,01—0,04%, так как при этом ЭКГ, отводимая от модели, наиболее близка по амплитуде к ЭКГ человека в одноименных отведениях.

Влияние геометрических особенностей объемного проводника на вид ЭКГ иллюстрирует рис. 2, на котором приведена ЭКГ, полученная у собаки (A) и от модели (B) в 12 общепринятых отведениях. На рисунке видно, что перенос сердца из грудной клетки собаки в модель торса человека приводит к изменению направления электрической оси  $QRS$  во фронтальной плоскости, появлению, отчетливой переходной зоны в грудных отведениях, изменению формулы  $QRS$ , положения и конфигурации сегмента  $ST$ , формы и знака зубца  $T$ . При этом сходство с ЭКГ человека существенно увеличивается.

Предполагается, что описанная модель может быть использована при решении вопросов, связанных с топографическим распределением изменений ЭКГ в разных отведениях при преднамеренно вызываемых повреждениях и изменениях состояния сердца.

#### ЛИТЕРАТУРА

1. Portnoy B. F. — Экспер. хир., 1974, № 5, с. 7.
  2. Barber D., Fischman E. — Nature, 1961, v. 192, p. 141.
  3. Eppinger H. — Z. klin. Med., 1910, Bd 71, S. 157.
  4. Frank E. — Circulation, 1956, v. 13, p. 737.
  5. Kountz F., Prinzmetal M. — Am. Heart J., 1935, v. 10, p. 605.
  6. McFee R., Parungao A. — Ibid, 1961, v. 62, p. 93.
  7. Schmitt O., Simonson E. — Arch. intern. Med., 1955, v. 96, p. 574.
  8. Yamada K. et al. — Jap. Heart J., 1966, v. 7, p. 331.
- Поступила 6/X 1978 г.

#### BIOPHYSICAL MODEL HEART—BODY

B. M. Tsukerman, M. V. Kon, V. F. Portnoy, R. A. Vyshegorodskaya

A. V. Vishnevsky Institute of Surgery, Academy of Medical Sciences of the USSR, Moscow

A biophysical model heart — body designed for experimental electrocardiographic investigations is described. The model consists of an isolated perfused dog heart immersed in a liquid volumetrical conductor filling the vessel in the

form of a human torso with implanted electrodes for various ECG leads. The volumetrical conductor presents a hypotonic  $\text{NaCl}$  solution. In order to prevent heart damage by the solution, use is made of an artificial pericardium manufactured from current conductive rubber film.

УДК 612.823.5.015.3

Ключевые слова: синаптосомы; валиомыш; трансмембранный потенциал; флюоресцентный зонд.

E. B. Никушин, И. М. Антоников, Р. Н. Ги

#### ПРИМЕНЕНИЕ ФЛЮОРЕСЦЕНТНОГО ЗОНДА 1-АНИЛИНОНАФТАЛИН-8-СУЛЬФОНАТА ДЛЯ ИЗУЧЕНИЯ ТРАНСМЕМБРАННОГО ПОТЕНЦИАЛА СИНАПТОСОМ

Лаборатория общей патологии нервной системы (заслуженный член-корреспондент АМН СССР проф. Г. Н. Крыжановский) Института общей патологии и патологической физиологии АМН СССР, Москва

Представлена акад. АМН СССР С. Е. Северным

Синаптосомы сохраняют метаболические, осмотические, секреторные и другие свойства интактных нервных окончаний [2], а также трансмембранный потенциал (ТМП), приближенный к  $K^+$ -диффузионному потенциалу [4, 7, 9]. Последнее свойство является одним из наиболее важных признаков жизнеспособности ткани, можно использовать для оценки нативности получаемых препаратов синаптосом.

Небольшой размер синаптосом (диаметр  $1-2 \mu\text{m}$ ) не позволяет регистрировать ТМП с помощью метода микроэлектродов. С этой целью в последние годы используется метод флюоресцентных зондов [4], адекватность которого была продемонстрирована на гигантском аксоне кальмаря [5, 6]. Было установлено, что интенсивность флюоресценции ( $I_{\text{фл}}$ ) зондов группы карбонильных соединений зависит от величины градиента  $K^+$  на мембре и от величины константы скорости проницаемости  $K^+$  через мембрану ( $P_{K^+}$ ) [4, 10]. Имея потенциальный чувствительный зонд, проверить сохранение мембраны синаптосом градиента  $K^+$  (наличия  $T_m$ ) без предварительной, достаточно трудоемкой лировки зонда наиболее просто и адекватно двумя способами: 1) добавить к препарату синаптосом определенное количество  $KCl$ , что меняет отношение  $[K^+]_o/[K^+]_i$ , снижает ТМП